Contrat Été 2023

RAPPORT HEBDOMADAIRE – MCGILL SEMAINE DU 20 MARS 2023

RÉALISÉ DANS LE CADRE D'UN PROJET POUR

ISMER-UQAR

24/03/2023

Table des matières

1	DOI	VE Transformer le slab model en modèle shallow water multicouches [3/3]
	1.1	Cadre théorique : Retrouver les variations des interfaces eta(k)
	1.2	Cadre théorique : Vorticité quasi-géostrophique
		1.2.1 Retrouver la QGPV à partir de la vorticité relative
		1.2.2 Généralisation de la QGPV à un modèle à plusieurs couches
		1.2.3 Gravité réduite
	1.3	DONE Modifer le schéma numérique pour retrouver les eta(k)
	1.4	DONE Modifier les sous-routines de diagnostiques et d'output [3/3]
		DONE Gestion des paramètres initiaux

DONE Transformer le slab model en modèle shallow water multicouches [3/3] 1

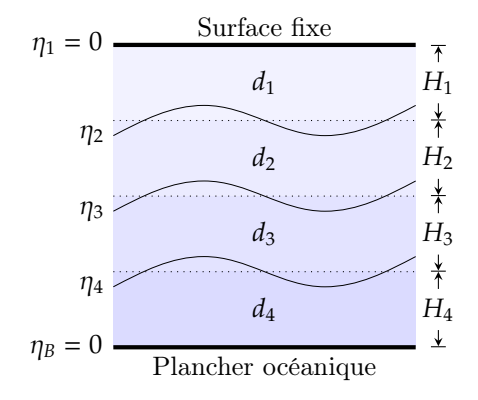
Cadre théorique : Retrouver les variations des interfaces eta(k) 1.1

En premier lieu, en shallow water, l'équation de masse pour chaque couche k est donnée par

$$\frac{\partial}{\partial t} d_k = \nabla \cdot (d_k \mathbf{u}_k) \qquad \Longrightarrow \qquad \Delta d_k = \Delta t \ [\nabla \cdot (d_k \mathbf{u}_k)]. \tag{1.1}$$

Dans notre modèle shallow water, on calcule directement la ligne précédente à l'intérieur de la routine rhs.f90, ce qui nous donne la quantité rhs-eta(i,j,k) (qui est en fait l'épaisseur). Après avoir calculé les RHS, faut donc retouver les η_k à l'aide des d_k .

> En commençant depuis la fin, l'algorithme pour retrouver les η_k à partir des épaisseurs d_k est donné par



$$(k = 4) \quad d_4 = H_4 - \eta_B + \eta_4 \qquad \Longrightarrow \qquad \eta_4 = \eta_B + (d_4 - H_4);$$

$$(k = 3) \quad d_3 = H_3 - \eta_4 + \eta_3 \qquad \Longrightarrow \qquad \eta_3 = \eta_4 + (d_3 - H_3);$$

$$(k = 2) \quad d_2 = H_2 - \eta_3 + \eta_2 \qquad \Longrightarrow \qquad \eta_2 = \eta_3 + (d_2 - H_2);$$

$$(k = 1) \quad d_1 = H_1 - \eta_2 + \eta_1 \qquad \Longrightarrow \qquad \eta_1 = \eta_2 + (d_1 - H_1) = 0.$$

$$(1.2)$$

$$(k=3)$$
 $d_3 = H_3 - \eta_4 + \eta_3 \implies \eta_3 = \eta_4 + (d_3 - H_3);$ (1.3)

$$(k=2)$$
 $d_2 = H_2 - \eta_3 + \eta_2 \implies \eta_2 = \eta_3 + (d_2 - H_2);$ (1.4)

$$(k=1)$$
 $d_1 = H_1 - \eta_2 + \eta_1 \implies \eta_1 = \eta_2 + (d_1 - H_1) = 0.$ (1.5)

Pour résumé, de manière générale, entre les couches 2 et nk-1,

$$\eta_k = \eta_{k+1} + (d_k - H_k). \tag{1.6}$$

On peut donc toujours prendre la dernières couches et reconstruire les autres η_{k+1} . Numériquement, il suffit d'enregistrer le champs scalaire η_{k+1} et de l'appliquer à l'itération suivante de la couche. Cette technique est

employé par toutes has pustion tipos qui font usage de la thickness une fois les RHS-eta trouvés.

modèle shallow water à quatre

Mentionne qu'en pregarde les RHS des équations du mouvement, soit les dérivées temporelles des quantités h et η . En ordre décroissant, il est donc possible de créer une méthode itérative qui appelle le RHS du eta couche inférieure (nk + 1) à l'aide de la dérivée de l'équation 1.6, soit

$$(k = nz) \qquad \Delta \eta_{nz} = \Delta h_{nz} ;$$

$$(k = k) \qquad \Delta \eta_k = \Delta h_k + \Delta \eta_{k+1} ;$$

$$(k = 1) \qquad \Delta \eta_1 = \Delta h_1 + \Delta \eta_2.$$

$$(1.7)$$

N.B. Cette technique a ses limites, si l'on a beaucoup de couches on commence à accumuler de l'erreur numérique à chaque itération en k. Pous solutionner ce problème, on utiliserait une méthode d'algèbre linéaire matricielle, mais ça ne devrait pas être très grave si on a peu de couches, selon David.

1.2 Cadre théorique : Vorticité quasi-géostrophique

Retrouver la QGPV à partir de la vorticité relative

Dans le système en eau peu profonde, la vorticité potentielle Q_k est une quantité conservée, de sorte que

(SWPV)
$$\frac{\mathrm{d}Q}{\mathrm{d}t} = \frac{\mathrm{d}}{\mathrm{d}t} \left(\frac{\zeta + f}{h} \right) = 0. \tag{1.8}$$

Pour retrouver la vorticité potentielle quasi-géostrophique en eau peu profonde (SWQGPV), on applique les trois approximations quasi-géostrophiques [K. Vallis, 2006, , p184], soient

- \blacksquare (1) Les variations de l'épaisseur h sont minces;
- (2) Le nombre de Rossby est petit;
- (3) Les variations du paramètre de Coriolis sont faibles

Par conséquent, avec (1),

$$Q_k = \frac{\zeta_k + f}{H_k + h'_k} = \frac{\zeta_k + f}{H_k} \left(\frac{1}{1 + h'_k / H_k} \right) \approx \frac{\zeta_k + f}{H_k} \left(1 + \frac{h'_k}{H_k} \right). \tag{1.9}$$

Avec (2),

$$Q_k \approx \frac{1}{H_k} \left(f + \zeta_k - f \frac{h_k'}{H_k} \right). \tag{1.10}$$

Avec (3),

$$Q_k \approx \frac{1}{H_k} \left(f + \zeta_k - f_o \frac{h_k'}{H_k} \right). \tag{1.11}$$

Cette nouvelle quantité q_k s'appelle la vorticité potentielle quasi-géostrophique (QGPV) et est conservée sur le domaine. Soit,

$$q_k \equiv \left(\beta y + \zeta_k - f_o \frac{h'_k}{H_k}\right) \quad \text{où} \quad \zeta_k = \nabla^2 \psi_k.$$
(1.12)

La variation de l'interface entre deux couches η'_k peut toujours être exprimée par un ratio des fonctions de courant qui l'entourent (ψ_k et ψ_{k-1}), de sorte que

$$\psi_1 = \frac{g}{f_0} \eta_1; \qquad \eta'_k = \frac{f_o}{g'_k} (\psi_k - \psi_{k-1}); \qquad \mathbf{u} = \hat{\mathbf{k}} \times \nabla \psi. \tag{1.13}$$

1.2.2 Généralisation de la QGPV à un modèle à plusieurs couches

Après quelque substitutions algébriques, on parviendra ainsi à une équation générique de la vorticité potentielle quasi-géostrophique en eau peu profonde pour un modèle à plusieurs couches,

$$h'_{k} = H_{k} + \eta'_{k} - \eta'_{k+1}, \tag{1.14}$$

$$=H_k + \frac{f_0}{g_k'}(\psi_k - \psi_{k-1}) - \frac{f_0}{g_{k+1}'}(\psi_{k+1} - \psi_k), \tag{1.15}$$

Conséquemment, si le terme $(H_k/H_k)f_0^2 \to 0$,

$$q_k = \beta y + \nabla^2 \psi_k + \frac{f_0^2}{H_k} \left(\frac{\psi_{k-1} - \psi_k}{g_k'} - \frac{\psi_k - \psi_{k+1}}{g_{k+1}'} \right) \quad \text{où} \quad g_k' = g \frac{\rho_k - \rho_{k-1}}{\rho_1}.$$
 (1.16)

N.B. 1) Notre résultat est différent de celui exprimé dans le [K. Vallis, 2006, , p.185] à ce qui attrait aux gravités réduites car nous définissons η_k comme la «plafond» d'une couche k et non son «plancher».

N.B. 2) La formulation 1.12 est toujours valides, car c'est la définition de la QGPV à plusieurs couches. Une version différente existe en milieu continu, mais nous y reviendrons dans les prochains rapports. Bref, restons avec cette formulation, ça nous empêchera de se tromper avec les gravités réduites.

1.2.3 Gravité réduite

Pour donner un argument, toujours en se fiant au Vallis, notre formulation de la gravités réduites g'_i découle du fait que la pression s'additionne à chaque couche, de sorte que

$$p_{k} = \underbrace{\rho_{1}g\eta_{1}}_{m=1, \ \rho_{0}=0} + \rho_{1} \sum_{m=2}^{k} \underbrace{\left(\frac{\rho_{m} - \rho_{m-1}}{\rho_{1}}g\right)}_{g'_{k}} \eta_{m} \quad \text{où} \quad \eta_{nz} = \eta_{B} = 0, \tag{1.17}$$

lorsque η_k est définit comme le «plafond» d'une couche k. Pour une surface fixe, η_1 est tout simplement nulle et on rajoute un gradient de pression dans les équations du mouvement.

1.3 **DONE** Modifer le schéma numérique pour retrouver les eta(k)

Il existe un peu une incertitude entre eta et thickness, les deux variables s'interchangent lorsqu'on travaille à plus de deux couches et j'ai un peu de difficulté à comprendre ça. Il va donc falloir déméler toute cette information-là. En premier lieu, nous avons désormais un vecteur H(k) qui décrit les épaisseurs moyennes de chaque couches (On l'avait déjà, mais on va vraiment s'en servir) Nous n'avons pas vraiment de variable générique qui décrit l'épaisseur réelle, nous allons donc créer une variable générique pour l'épaisseur d-k, car thickness est généralement calculée on the spot dans chaque sous-routine. Ensuite, en suivant le schéma décrit dans les sections précédentes, on va pouvoir retrouver les eta-k à l'aide des d-k.

N.B. Finalement, après inspection du code, j'ai abandonnée l'idée d'avoir un *thickness* prédéfinit à la grandeur du code, on va rester avec *eta-k* et calculer *thickness on the spot*. Faut juste changer le nom de la variable *RHS-eta* qui définit plutôt *RHS-thickness*.

1.4 **DONE** Modifier les sous-routines de diagnostiques et d'output [3/3]

Toutes les routines de diagnostiques ont été créées pour 2 couches uniquement, il faudrait donc modifier les **do loop** qui contiennent des k et nz. Pour l'essentiel, il faut modifier les fichiers :

- ☑ div-vort.f90: Les variables zeta et div pourraient être génériques au fil du code et contenir nz couches. Avant, nous avions div1, div2, zeta1 et zeta2 avec la forme (0:nnx,0:nny) quand on aurait pu seulement avoir div(0:nnx,0:nny,nz) et zeta(0:nnx,0:nny,nz). Mais j'ai plutôt décidé de modifier div-vort.f90 (la sous-routine qui calcule ces quantités). div-vort.f90 est devenu une routine locale qui calcule zeta et div on the spot et j'ai supprimé les variables zeta1, etc. J'ai vérifié que ça fonctionnait dans tous les sous-routines où on appellait ces deux quantitiés:
 - 🗵 main. f90 : Principalement changer la taille des variables et retirer les variables désuettes :
 - \boxtimes initialize.f90: IDEM.
 - $\boxtimes dump\text{-}spc.f90$: Sous-routine éliminée car elle réalisait la même tâche que dump-bin.f90 et n'était pas appelée par aucune routine.
 - \boxtimes div-vort. f90: Finalement, après cette inspection, on voit que la sous-routine div-vort. f90 ne sert pas à grand chose, car on calcule toujours zeta et div on the spot pour un k définit.

\boxtimes diags.f90:

- \boxtimes On a le même problème que dans le main.f90 parce qu'on retrouve la thickness à l'aide des η_K et c'est vraiment pas clair si la variable eta ici est une épaisseur ou une variation à partir de l'interface. EDIT : Après avoir re-vérifié , tout semble bon. De manière générale, on peut retrouver la thickness parce que les diagnostiques sont produits après que le RHS ait été appliqué sur eta.
- Aussi, il faudrait régler le problème des mode barotropes et baroclines (Mis en dépot car j'ai besoin d'aide pour ça, la matrice que LP m'a envoyée, c'est pas clair). En attendant, la do loop des nz s'arrête à nz = 2, de sorte que les quantités précédentes soient toujours calculées, sans rien briser.
- ⊠ dump-bin.f90; On utilisait précédemment les variables zeta1, div1, zeta2 et div2. C'est terminé, on appelle maintenant la sous-routine div-vort.f90 à l'intérieur d'un k-loop. La sous-routine div-vort.f90 a aussi été retirée du programme main.f90 à cause de sons changement de nature. Il a fallut modifier les variables out aussi dans initialize.f90 et main.f90.

1.5 **DONE** Gestion des paramètres initiaux

Faut gosser un peu dans la fonction initialisation.f90 pour avoir un H(k) et un gprime(k) qui fonctionnent. Maintenant, gprime(k) est définit en fonction d'un vecteur rho(k). Tout va être relié dans le fichier de paramètres.

Références

G. K. Vallis. Atmospheric and Oceanic Fluid Dynamic: Fundamentals and Large-scale Circulation. Cambridge University Press, The Edinburg Building, Cambridge CB2 2RU, UK, second edition edition, 2006. ISBN 13 978-0-521-84969-2.